

大型张量的 CP 分解算法

张晨

(计算机系, 学号: 2017011307, 手机号: 13730916126)

摘要: 本文讨论了张量 CP 分解算法的优化方法, 并在使用近年来对张量分解的优化方法的基础上, 测试了使用并行、GPU 进行张量分解的效果。实验表明, 在对张量分解过程进行简单调整后, 张量分解具有很好的扩展性, 能较好利用矩阵的稀疏性, 且十分适用于使用 GPU 进行运算。

关键词: CP 分解, 并行张量分解, GPU 优化

1. 引言

张量, 即高维数组, 可以对现实世界中的多种数据进行建模。张量分解可提取出数据中的潜在信息, 被广泛地应用于各类数据挖掘任务中, 如社交网络分析、推荐系统、音频视频处理等[1]。常见的张量分解方法有 CP 分解、Tucker 分解、DEDICOM 等等。CP 分解的表达较为简洁, 分解结果具有一定的可解释性, 本文将对其进行着重讨论。

CP 分解[2]将一个 $I \times J \times K$ 的三维矩阵分解成 F 个外积之和:

$$X = \sum_{f=1}^F a_f \circ b_f \circ c_f \quad (1)$$

\circ 表示向量外积, 满足

$$a_f \circ b_f \circ c_f(i, j, k) = a_f(i)b_f(j)c_f(k)$$

其中, $1 \leq i \leq I, 1 \leq j \leq J, 1 \leq k \leq K, a_f \in R^{I \times 1}, b_f \in R^{J \times 1}, c_f \in R^{K \times 1}$ 。最小的使式(1)成立的 F 的值被称为张量 X 的秩。在一定条件下, 张量的 CP 分解是唯一的[1], 即给定张量 X 和它的秩 F , 仅有一种将 X 分解成 F 个秩为 1 的张量相加的方法。因此, CP 分解本身便反映出数据的一些性质。

寻找秩为 F 的 CP 分解, 使之与 X 之差的 F -范数最小, 即最小化 $\|X - \sum_{f=1}^F a_f \circ b_f \circ c_f\|_F$ 是一个 NP-hard 的问题, 但是 ALS(alternating least squares)算法可以获得此问题的一个很好的解。然而, ALS 算法难以扩展到较大的张量上, 其最大原因是 ALS 算法的中间过程的数据量远大于其结果的数据量, 这被称作“中间数据爆炸问题”[3]。此外, 在 ALS 的每轮迭代中, 整个张量中的数据都要被访问多次, 且访问模式不同, 这使得运算过程中难以利用缓存, 且在分布式内存系统中运算会带来巨大的通信开销[2]。

PARACOMP(parallel randomly compressed tensor decomposition)[5]是进行大张量 CP 分解的一种备选方案, 它将张量 X 随机压缩成若干个较小的张量, 分别对这些张量进行分解, 将分解结果合并得到张量 X 的 CP 分解。如果张量 X 的秩较小, 且运行过程中选取了较为合适的超参数, 此方法会有很好地效果。“分别分解这些张量”的并行化十分容易, 但是“随机压缩”过程却难以并行。

鉴于此, Ravindran[2]提出两种方案, 分别对 ALS 和 PARACOMP 进行优化, 在总的浮点运算次数基本不变的情况下, 降低了二者的内存用量, 并使得这二者易于并行。本文将对这两种方法的实际效果进行实验验证。

张量分解的主要瓶颈为大量的矩阵乘法运算, 十分适合使用 GPU 计算。本文将 Ravindran 优化后的 ALS 移植到 GPU 上, 取得了较好的加速效果。

2. 记号

本文中用到的记号如表 1 所示, 记号取自文献[4]。

表 1 本文中用到的记号

记号	定义
$\text{diag}(\mathbf{a})$	以向量 \mathbf{a} 为对角线的对角阵
\mathbf{A}^+	矩阵 \mathbf{A} 的广义逆
$\mathbf{X}(:, i)$	矩阵 \mathbf{X} 的第 i 列
$\mathbf{X}(i, :)$	矩阵 \mathbf{X} 的第 i 行
$\text{vec}(\mathbf{X})$	将矩阵 \mathbf{X} 向量化

本文中还涉及以下运算:

定义 1(向量外积). 对于两个向量 $\mathbf{a} \in R^I, \mathbf{b} \in R^J$, 它们的外积 $\mathbf{a} \circ \mathbf{b}$ 是一个 $I \times J$ 维矩阵, 矩阵第 i 行第 j 列的元素是 $a(i)b(j)$ 。

定义 2(张量积). 对于两个矩阵 $A \in R^{I \times J}$, $B \in R^{K \times L}$, 他们的张量积是一个 $IK \times JL$ 维矩阵:

$$A \otimes B = \begin{bmatrix} A(1,1)B & \cdots & A(1,J)B \\ \vdots & \ddots & \vdots \\ A(I,1)B & \cdots & A(I,J)B \end{bmatrix}$$

定义 3(克罗内克积). 对于两个矩阵 $A \in R^{I \times K}$, $B \in R^{J \times K}$, 它们的克罗内克积是一个 $(I * J) \times K$ 维矩阵。

$$A \odot B = \begin{bmatrix} A(1,1)B(:,1) & \cdots & A(1,K)B(:,K) \\ \vdots & \ddots & \vdots \\ A(I,1)B(:,1) & \cdots & A(I,K)B(:,K) \end{bmatrix}$$

定义 4(张量的矩阵展开). 一个 N 维张量 $X \in R^{I_1 \times I_2 \times \cdots \times I_N}$ 在第 n 维的矩阵展开记为 $X_{(n)} \in R^{I_n \times I_1 \cdots I_{n-1} I_{n+1} \cdots I_N}$, 它是平铺矩阵 X 在第 n 维的所有向量而得到的, [4]提供了一个较为易懂的示例。

3. 张量分解算法

3.1 ALS算法

这里仅讨论三维张量, 对于一般化的 n 维张量, 请参考[4]。

令因子矩阵 A 、 B 、 C 表示 X 的 CP 分解结果排列而成的矩阵:

$$A = [a_1 \ a_2 \ \dots \ a_F] \in R^{I \times F}, \ B = [b_1 \ b_2 \ \dots \ b_F] \in R^{J \times F}, \ C = [c_1 \ c_2 \ \dots \ c_F] \in R^{K \times F}$$

则有

$$X_{(1)} = A(C \odot B)^T, \ X_{(2)} = B(C \odot A)^T, \ X_{(3)} = C(B \odot A)^T$$

求解的目标函数可写为

$$\min_{A,B,C} \|X_{(1)} - A(C \odot B)^T\|_F$$

若固定 B 、 C , 则可求得

$$A = X_{(1)}(C \odot B)^+$$

利用克罗内克积的性质[4]

$$(A \odot B)^+ = ((A^T A)(B^T B))^+ (A \odot B)^T$$

可得

$$A = X_{(1)}(C \odot B)(C^T C * B^T B)^+ \quad (2)$$

相似的, 有

$$B = X_{(2)}(C \odot A)(C^T C * A^T A)^+ \quad (3)$$

$$C = X_{(3)}(B \odot A)(B^T B * A^T A)^+ \quad (4)$$

不断利用式(2)-(4)进行迭代计算, 即可获得张量 X 的秩为 F 的 CP 分解。见算法 1。

算法 1: ALS 算法计算 CP 分解

输入: 张量 $X \in R^{I \times J \times K}$, 秩 R

输出: CP 分解结果, $A \in R^{I \times R}$, $B \in R^{J \times R}$, $C \in R^{K \times R}$

1: A, B, C 随机初始化

2: **while** 不达到收敛条件 **do**

3: $A \leftarrow X_{(1)}(C \odot B)(C^T C * B^T B)^+$

4: $B \leftarrow X_{(2)}(C \odot A)(C^T C * A^T A)^+$

5: $C \leftarrow X_{(3)}(B \odot A)(B^T B * A^T A)^+$

6: **end while**

3.2 PARACOMP

PARACOMP 的主要流程如图 1 所示。

Fork 过程将 P 个三元组 (U_p, V_p, W_p) 分别与张量 X 相乘, 得到 P 个压缩后的矩阵 $\{Y_p\}_{p=1}^P$ 。具体的, 对于给定的参数矩阵 $U_p \in R^{I \times L_p}$, $V_p \in R^{J \times M_p}$, $W_p \in R^{K \times N_p}$, 压缩后的矩阵 $Y_p \in R^{L_p \times M_p \times N_p}$ 满足:

$$Y_p(l, m, n) = \sum_{i=1}^I \sum_{j=1}^J \sum_{k=1}^K U_p(l, i) V_p(m, j) W_p(n, k) X(i, j, k) \quad (5)$$

图 2 是张量压缩过程的示意图。

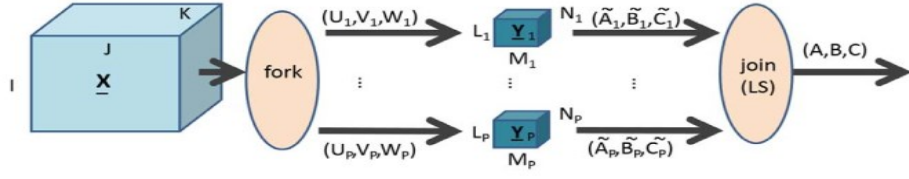


图 1 PARACOMP 算法流程

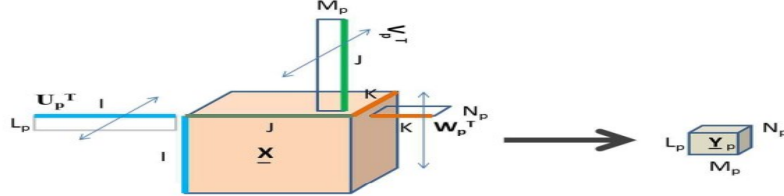


图 2 张量压缩过程示意

之后, 单独分解每一个矩阵 Y_p , 得到分解结果 $(\tilde{A}_p, \tilde{B}_p, \tilde{C}_p)$ 。

注意到(5)式满足

$$\text{vec}(Y_p) = (U_p^T \otimes V_p^T \otimes W_p^T) \text{vec}(X) \quad (6)$$

且由于克罗内克积满足性质

$$(U_p^T \otimes V_p^T \otimes W_p^T)(A \odot B \odot C) = (U^T A) \odot (V^T B) \odot (W^T C)$$

故

$$\text{vec}(Y_p) = ((U_p^T A) \odot (V_p^T B) \odot (W_p^T C)) \mathbf{1}$$

因而分解结果满足 $\tilde{A}_p = U_p^T A, \tilde{B}_p = V_p^T B, \tilde{C}_p = W_p^T C$, 据此可恢复出张量 X 的分解结果。

对于 PARACOMP 算法的可行性, 有如下定理

定理 1(压缩后矩阵分解唯一的条件). 令 $x = (A \odot B \odot C) \mathbf{1} \in \mathbb{R}^{IJK}$, 其中 A, B, C 分别为 $I \times F, J \times F, K \times F$ 维矩阵, 第 p 个压缩结果 $y_p = (U_p^T \otimes V_p^T \otimes W_p^T)x = ((U^T A) \odot (V^T B) \odot (W^T C)) \mathbf{1} = (\tilde{A}_p \odot \tilde{B}_p \odot \tilde{C}_p) \mathbf{1} \in \mathbb{R}^{LMN}$, 其中参数矩阵 $U(I \times L, L \leq I), V(J \times M, M \leq J), W(K \times N, N \leq K)$ 分别从 $R^{I \times L_p}, R^{J \times M_p}, R^{K \times N_p}$ 的连续分布中独立选取, A, B, C 都是秩为 F 的列满秩矩阵, $L \leq M \leq N$, 且

$$(L+1)(M+1) \geq 16F$$

则 $\tilde{A}_p, \tilde{B}_p, \tilde{C}_p$ 除顺序和相对大小外几乎可以由 y 唯一确定。

定理 2(合成结果唯一的条件). 在满足定理 1 的前提下, 若每个 W_p 有两个公共列, 且

$$P \geq \max\left(\frac{I}{L}, \frac{J}{M}, \frac{K-2}{N-2}\right)$$

则 (A, B, C) 除顺序和相对大小外基本可以由 $\{(\tilde{A}, \tilde{B}, \tilde{C})\}_{p=1}^P$ 唯一确定。

4. 张量分解算法的瓶颈及优化

4.1 ALS 算法

ALS 算法的核心思想是式(2)至式(4)的迭代计算。

在式(2)中, 定义 MTTKRP 操作为

$$Y = X_{(1)}(C \odot B)$$

在张量 X 的元素个数 $I \times J \times K$ 很大时, 计算克罗内克积 $C \odot B$ 以及 MTTKRP 十分困难, 这使得 ALS 算法难以应用在大型的张量上, 这被称作“中间数据爆炸问题”。注意式(4)中剩余的部分 $C^T C B^T B$ 仅为一个 $F \times F$ 的矩阵, 故求其广义逆运算量较小。

此外, Ravidran[2]指出, $X_{(1)}, X_{(2)}, X_{(3)}$ 中对 X 的数据访问模式是不同的, 这使得在计算过程中较难通过利用 cache 加快对内存中张量 X 的数据的访问 (除非在内存中将这个张量在内存中复制三遍, 分别按 $X_{(1)}, X_{(2)}, X_{(3)}$ 的格式存储)。此外, 大型张量有可能是分布式存储, 在这种情况下, 访问模式不同的问题严重阻碍 ALS 算法的并行。

算法 2: 计算 $\mathbf{X}_{(3)}(\mathbf{B} \odot \mathbf{A})$ 输入: 张量 $\mathbf{X} \in \mathbb{R}^{I \times J \times K}$, $\mathbf{A} \in \mathbb{R}^{I \times F}$, $\mathbf{B} \in \mathbb{R}^{J \times F}$ 输出: $\mathbf{M} \leftarrow \mathbf{X}_{(3)}(\mathbf{B} \odot \mathbf{A}) \in \mathbb{R}^{K \times F}$

```

1:  $\mathbf{M} \leftarrow \mathbf{0}$ 
2: for  $k = 1, \dots, K$  do
3:    $\mathbf{M}(k, :, :) \leftarrow 1^T (\mathbf{A} * (\mathbf{X}(:, :, k) \mathbf{B}))$ 
4: end for

```

算法 3: 计算 $\mathbf{X}_{(1)}(\mathbf{C} \odot \mathbf{B})$ 输入: 张量 $\mathbf{X} \in \mathbb{R}^{I \times J \times K}$, $\mathbf{B} \in \mathbb{R}^{J \times F}$, $\mathbf{C} \in \mathbb{R}^{K \times F}$ 输出: $\mathbf{M} \leftarrow \mathbf{X}_{(1)}(\mathbf{C} \odot \mathbf{B}) \in \mathbb{R}^{I \times F}$

```

1:  $\mathbf{M} \leftarrow \mathbf{0}$ 
2: for  $k = 1, \dots, K$  do
3:    $\mathbf{M}(k, :, :) \leftarrow \mathbf{M} + \mathbf{X}(:, :, k) \mathbf{B} \text{diag}(\mathbf{C}(k, :))$ 
4: end for

```

算法 4: 计算 $\mathbf{X}_{(2)}(\mathbf{C} \odot \mathbf{A})$ 输入: 张量 $\mathbf{X} \in \mathbb{R}^{I \times J \times K}$, $\mathbf{A} \in \mathbb{R}^{I \times F}$, $\mathbf{C} \in \mathbb{R}^{K \times F}$ 输出: $\mathbf{M} \leftarrow \mathbf{X}_{(2)}(\mathbf{C} \odot \mathbf{A}) \in \mathbb{R}^{J \times F}$

```

1:  $\mathbf{M} \leftarrow \mathbf{0}$ 
2: for  $k = 1, \dots, K$  do
3:    $\mathbf{M}(k, :, :) \leftarrow \mathbf{M} + \mathbf{X}(:, :, k) \mathbf{A} \text{diag}(\mathbf{C}(k, :))$ 
4: end for

```

Ravidran[2]的主要思想如算法 2-算法 4 所示

使用算法 3 计算 $\mathbf{X}_{(1)}(\mathbf{C} \odot \mathbf{B})$, 仅需要 $O(\text{NNZ})$ 的额外内存, 其中, NNZ (number of non-zero elements)表示张量 \mathbf{X} 中非零元素的个数。令 I_k 表示第 k 个 $I \times J$ 的张量“切片” $\mathbf{X}(:, :, k)$ 中非零行的个数, J_k 表示 $\mathbf{X}(:, :, k)$ 中非零列的个数, 令

$$\text{NNZ}_1 = \sum_{k=1}^K I_k$$

$$\text{NNZ}_2 = \sum_{k=1}^K J_k$$

分别表示张量 \mathbf{X} 中非零“行”和非零“列”的个数, 则算法 1 的总浮点运算次数(flop)为

$$F * \text{NNZ}_1 + F * \text{NNZ}_2 + 2F * \text{NNZ}$$

其中, 计算 $\mathbf{B} * \text{diag}(\mathbf{C}(k, :))$ 时仅需计算 $\mathbf{X}(:, :, k)$ 对应列非空时的结果, 共需 $F * \text{NNZ}_2$ 次浮点运算; $\mathbf{X}(:, :, k) * (\mathbf{B} * \text{diag}(\mathbf{C}(k, :)))$ 总共需要 $2F * \text{NNZ}$ 次浮点运算 (乘法和加法); 只有对应 $\mathbf{X}(:, :, k)$ 的非空行的 \mathbf{M}_1 会被更新, 更新每行需要 F 次运算, 共计 $F * \text{NNZ}_1$ 次。故算法 3 在稀疏矩阵上表现良好。算法 3 的并行实现, 仅需使用 K 个线程并行执行步骤 2-3。且由于每个线程仅需要访问矩阵 \mathbf{X} 的一个切片 $\mathbf{X}(:, :, k)$, 此算法也很容易拓展到分布式内存系统上。

算法 4 计算 $\mathbf{X}_{(2)}(\mathbf{C} \odot \mathbf{A})$, 其过程与算法 3 基本一致, 故内存、计算开销与算法 3 相同。为了保证仍是按“切片”对张量 \mathbf{X} 进行访问, 算法 2 计算 $\mathbf{X}_{(3)}(\mathbf{B} \odot \mathbf{A})$ 的方法明显有异于算法 3、4, 但内存、计算开销与算法 3、4 相似。算法 2 的并行也较为容易, 仅需使用 K 个线程分别执行步骤 1-2。

4.2 PARACOMP算法

表面上, PARACOMP 算法很适合张量的并行分解, 因为在 Fork 过程完成后, 每个线程仅需要访问一个压缩后的张量。然而, Fork 过程实际上是 PARACOMP 算法的瓶颈之一。

实现(5)式的一种方法是, 仅枚举 $\mathbf{X}(i, j, k)$ 非零的三元组 (i, j, k) , 这样几乎不需要额外的存储空间, 且能充分利用矩阵的稀疏性。但是, 此方法应用于稠密矩阵、稀疏矩阵的时间复杂度分别为 $O(\text{LMNIJK})$ 和 $O(\text{LMN}(\text{NNZ}))$, 在矩阵中元素较多时开销很大。

另一种方法, 可利用求和的性质, 将(5)式化为

$$\begin{aligned}
Y_p(l, m, n) &= \sum_{i=1}^I \sum_{j=1}^J \sum_{k=1}^K U_p(l, i) V_p(m, j) W_p(n, k) X(i, j, k) \\
&= \sum_{k=1}^K W_p(n, k) \sum_{j=1}^J V_p(m, j) \sum_{i=1}^I U_p(l, i) X(i, j, k)
\end{aligned}$$

故可用如下方法计算压缩后的矩阵:

$$T_1(l, j, k) = \sum_{i=1}^I U(l, i) X(i, j, k) \quad (7)$$

$$T_2(l, m, k) = \sum_{j=1}^J V(m, j) T_1(l, j, k) \quad (8)$$

$$Y(l, m, n) = \sum_{k=1}^K W(n, k) T_2(l, m, k) \quad (9)$$

此方法的时间复杂度仅为 $O(LIJK + MLJK + NLMK)$ 。在 $\frac{1}{L} = \frac{J}{M} = \frac{K}{N}$, 即每一维压缩率相同时, 为使运算次数达到最小, 会首先对张量 X 进行转置操作, 使之满足 $I \leq J \leq K$ 。此算法对稠密阵有很好的效果, 而对于稀疏矩阵, 尽管式(7)可以仅访问 X 中的非零元素, 但是通常情况下, 运算的中间结果 T_1, T_2 是稠密矩阵, 可能比 X 使用更多的内存, 因此该方法在稀疏矩阵下表现并不好。

综合以上两种方法, Ravindran[2]提出了一种基于分块的计算方法(算法 5), 对稠密阵, 其浮点运算次数与式 7-9 相同, 而对于稀疏阵, 其浮点运算次数小于式(5)。

算法 5: 将 X 压缩为 Y_p

输入: 张量 $X \in R^{I \times J \times K}$, $U_p \in R^{I \times L_p}$, $V_p \in R^{J \times M_p}$, $W_p \in R^{K \times N_p}$, 块的大小 B

输出: $Y_p \in R^{L_p \times M_p \times N_p}$

```

1: for k = 1, ..., K do
2:    $T'_2 \leftarrow 0$ 
3:   for b = 1, B + 1, 2B + 1, 3B + 1, ..., J do
4:      $T'_1 \leftarrow U_p^T X(:, b:(b + B - 1), k)$ 
5:      $T'_2 \leftarrow T'_2 + T'_1 V_p(b:(b + B - 1), :)$ 
6:   end for
7:   for n = 1, ...,  $N_p$  do
8:      $Y_p(:, :, n) \leftarrow Y_p(:, :, n) + W(n, k) T'_2$ 
9:   end for
10: end for

```

使用此算法, 仅需要存储 $T'_1 \in R^{L \times B}$, $T'_2 \in R^{L \times M}$ 两个矩阵的中间数据。取 $B = 1$ 最节约内存, 但是一般情况下会将 B 的值取为一个较大的数, 从而能充分利用 cache。

算法 5 的时间复杂度为 $O(L(NNZ) + LM(NNZ_2) + LMNK)$, 其中 $L(NNZ)$, $LM(NNZ_2)$, $LMNK$ 分别表示第 4、5、8 步的复杂度。对稀疏矩阵, 式 5 的时间复杂度为 $O(LMN(NNZ))$ 。一般而言, $NNZ > NNZ_2$, $NNZ > K$, 故算法 5 比式 5 的浮点运算次数更少。

然而, Ravindran[2]也指出, 算法 5 仅在对第一维进行压缩时充分利用了矩阵的稀疏性, 在压缩第二维时仅能跳过全空的“列”, 在压缩第三维时与稠密阵没有区别。因此 Ravindran[2]认为, 此算法还有进一步的优化空间。

此算法最直接的并行方法是使用 P 个线程分别运行 P 个压缩过程, 但这意味着每个线程都需要访问张量 X 的所有数据。更理想的方法是使用 K 个线程并行化算法 5 中的步骤 1, 这样每个线程仅需要访问张量 X 的一个“切片” $X(:, :, k)$ 。

5. 实验与讨论

本节通过随机生成的矩阵, 对 Ravindran[2]提出的两个优化及 CP 分解的 GPU 实现的性能进行测试。实验所用 CPU 为 Intel 酷睿 i7 7700HQ, GPU 为 GeForce GTX 1060。实验的操作系统为 Windows 10, g++编译器为 g++-5.1.0-tdm-1, python 版本为 python3.7.0。串行算法使用 C++ 实现, 并行版本使用 C++ 与 openmp 实现, GPU 版本

使用 python+pytorch1.0.0。

5.1 ALS算法的优化效果

Ravindran[2]通过改变矩阵乘法的顺序,使 MTTKRP 操作充分利用系统的 cache。本实验随机生成了 $n \times n \times n$ 的张量 X 及 $n \times F$ 的矩阵 A 、 B 、 C ,测试该优化对稠密矩阵的效果,如图 3、4 所示。

使用经典方法计算 $X_{(3)}(B \odot A)$ 明显慢于计算 $X_{(1)}(C \odot B)$ 和 $X_{(2)}(C \odot A)$,这是因为在计算过程中,对张量 X 的访问不是连续的,会存在如下代码片段:

```
1 for (int k = 0; k < K; k++)
2     for (int i = 0; i < I; i++)
3         for (int j = 0; j < J; j++)
4             /*...*/x[i][j][k]/*...*/;
```

而在优化版的算法中,三次计算对张量 X 的访问都是连续的,且相比于经典算法计算 $X_{(1)}(C \odot B)$ 和 $X_{(2)}(C \odot A)$ 没有明显的性能损失。由于计算方法的改变,algorithm1-3 与 baseline1-3 在计算性能上没有一一对应关系,故使用 algorithm1-3 中最慢的与 baseline1-3 中最慢的(即 baseline3)计算加速比。从图 3 中可以发现,在张量 X 的规模 n 较大时,该优化约能获得 $1.1 \times$ 的加速比。

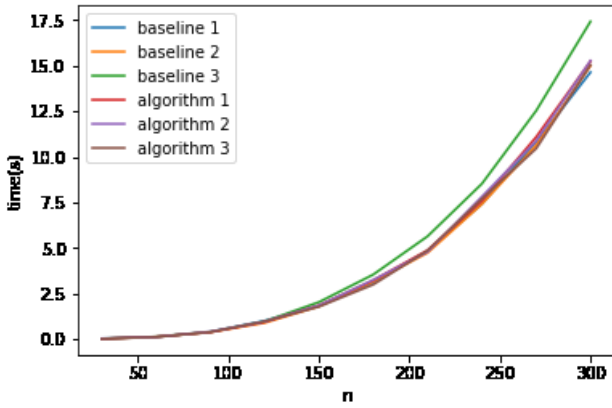


图 3 MTTKRP 各部分运行时间对比。baseline1-baseline3 分别使用经典方法计算 $X_{(1)}(C \odot B)$ 、 $X_{(2)}(C \odot A)$ 、 $X_{(3)}(B \odot A)$, algorithm1-algorithm3 分别对应于本文中的算法 2-4。实验中取 $F=100$ 。

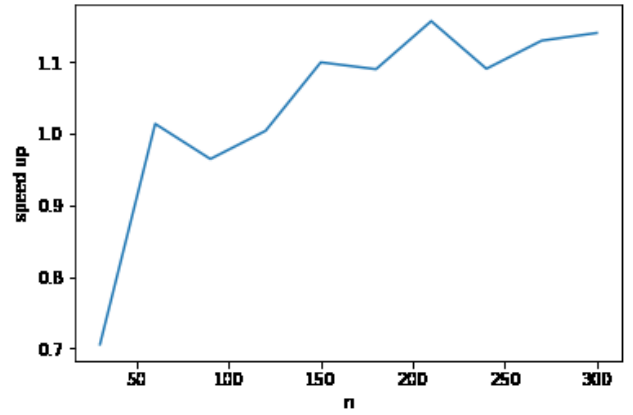


图 4 优化版 MTTKRP 的加速比,计算公式为

$$\frac{t(\text{baseline3})}{\max(t(\text{algorithm1}), t(\text{algorithm2}), t(\text{algorithm3}))}$$

其中 $t()$ 表示响应算法的运行时间。

5.2 并行MTTKRP过程

MTTKRP 过程中,各线程基本没有依赖关系,且本实验采用了共享内存方式,故 MTTKRP 过程扩展性良好。实验结果如图 5-6 所示。从理论上分析,执行 MTTKRP 过程仅需要同步计算得到的 ABC ,通信量较 X 的规模可以忽略不计,故可认为在分布式系统中,MTTKRP 过程也有很好的表现。

5.3 MTTKRP过程的GPU实现

本实验使用了 pytorch 的 API,实现了 GPU 上的 MTTKRP 过程。实验结果如表 2 所示。在 $X \in \mathbb{R}^{900 \times 900 \times 900}$, $B \in \mathbb{R}^{900 \times 100}$, $C \in \mathbb{R}^{900 \times 100}$ 时,仅需要 0.03 秒。作为对比,使用 CPU,8 个线程运行 $X \in \mathbb{R}^{300 \times 300 \times 300}$, $B \in \mathbb{R}^{300 \times 100}$, $C \in \mathbb{R}^{300 \times 100}$ 的计算任务,需要约 4.38 秒。受内存与显存的限制,本实验未测试更大规模的矩阵。可见,十分适合使用 GPU 进行此过程的计算。

表 2 $X \in \mathbb{R}^{n \times n \times n}$, $B \in \mathbb{R}^{n \times 100}$, $C \in \mathbb{R}^{n \times 100}$ 时 MTTKRP 运行时间。由于总的计算时间很小,未能观测到输入数据规模不同时运算时间的显著差异。

n	运行时间(s)	n	运行时间(s)
90	0.0020	540	0.0033
180	0.0033	630	0.0036
270	0.0054	720	0.0036
360	0.0061	810	0.0262
450	0.0044	900	0.0293

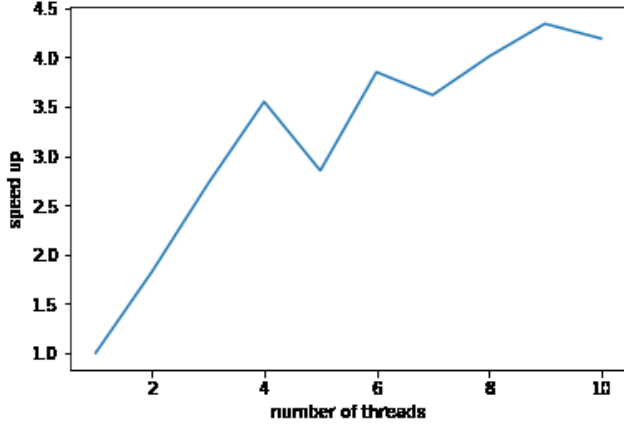


图 5 MTTKRP algorithm2 并行实现的加速比。张量 X 为随机生成的 $300 \times 300 \times 300$ 的张量, 取 $F=100$ 。加速比的计算公式为

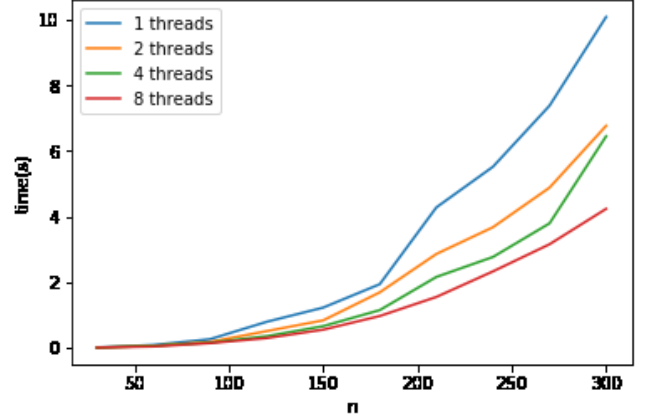
$$\text{speed up} = \frac{\text{线性运行时间}}{\text{使用当前线程数的运行时间}}$$


图 6 MTTKRP algorithm2 不同规模, 不同进程数的运行时间对比。张量 X 为随机生成的 $n \times n \times n$ 的张量, 取 $F=100$ 。

5.4 Paracomp中优化版矩阵压缩的性能

本实验验证了优化版矩阵压缩对于矩阵稀疏性的利用, 实验结果如图 7 所示。尽管在 $T_2(l, m, k) = \sum_{j=1}^J V(m, j)T_1(l, j, k)$ 、 $Y(l, m, n) = \sum_{k=1}^K W(n, k)T_2(l, m, k)$ 两步中没有利用矩阵的稀疏性, 但这两步计算使用的矩阵规模较第一步 $T_1(l, j, k) = \sum_{i=1}^I U(l, i)X(i, j, k)$ 已经有所缩小, 故未对整体性能造成太大影响。实验表明, 优化版压缩总体运行较快, 且能较好利用矩阵的稀疏性。再加入用以节约内存的分块算法, 可较好完成矩阵压缩任务。

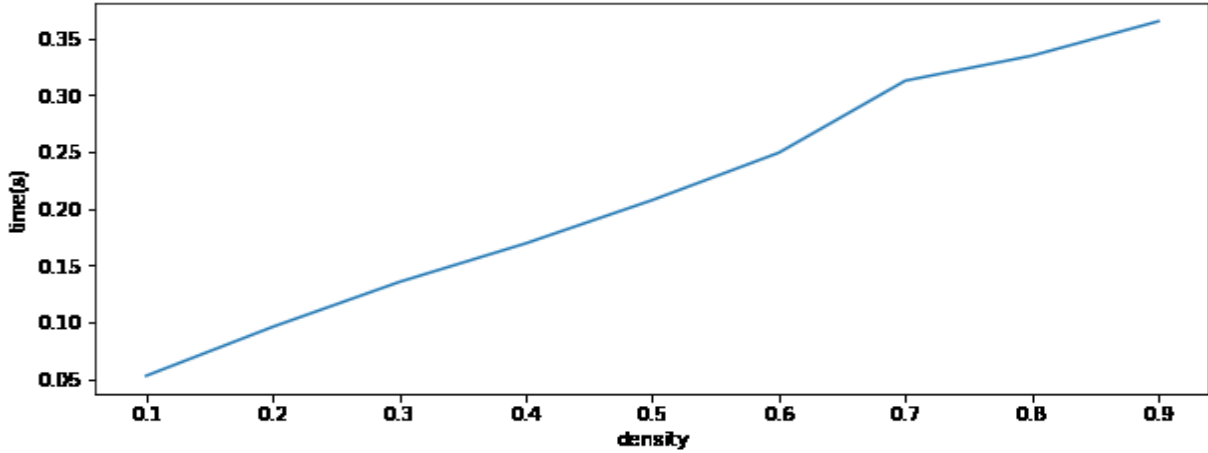


图 7 优化版 paracomp 对矩阵稀疏性的利用。实验随机生成有 $n^3 * \text{density}$ 个非零元素的张量 X , 张量 $X \in \mathbb{R}^{n \times n \times n}$, 压缩使用的参数矩阵为 $n \times P$ 的张量 U 、 V 、 W 。取 $n=200$, $P=10$ 。

6. 总结

本文讨论了较大规模张量的 CP 分解方法。无论是 ALS 还是 Paracomp, 其瓶颈都在较为简单的矩阵乘法运算, 这些矩阵运算导致 CP 分解中间过程中消耗大量额外内存, 占用大量运算时间。实验表明, 通过适当调整运算顺序、分块计算等方法, 可以极大减小额外内存的消耗量; 充分利用系统的 cache, 减小算法的常数; 使程序易于并行化或 GPU 移植。受计算资源所限, 本文未真正使用大规模张量进行测试, 仅对运算过程中的核心步骤进行实验验证, 但这些实验足以表明在大规模集群上进行张量分解的可行性。在大规模集群上使用 ALS 进行张量 CP 分解的一种可行做法是, 将 $I \times J \times K$ 的张量 X 拆分为 K 个 $I \times J$ 的“切片” $X(:, :, k)$ $k \in 1, 2, \dots, K$, 分布式存储在集群内的各台服务器内, 各服务器使用 GPU 迭代计算 A , B , C 并对 A , B , C 进行同步。使用 Paracomp, 则可按相同方法进行分布式存储, 生成压缩后矩阵。之后将压缩后的矩阵分配到各个服务器上分解操作, 最后进行合成。

参考文献

- [1] Evangelos E. Papalexakis, Christos Faloutsos, and Nicholas D. Sidiropoulos. 2016. "Tensors for Data Mining and Data Fusion: Models, Applications, and Scalable Algorithms." *ACM Trans. Intell. Syst. Technol.* 8, 2, Article 16 (October 2016), 44 pages.
- [2] N. Ravindran, N. D. Sidiropoulos, S. Smith and G. Karypis, "Memory-efficient parallel computation of tensor and matrix products for big tensor decomposition," *2014 48th Asilomar Conference on Signals, Systems and Computers*, Pacific Grove, CA, 2014, pp. 581-585.
- [3] Brett W. Bader and Tamara G. Kolda. 2007. "Efficient MATLAB Computations with Sparse and Factored Tensors." *SIAM J. Sci. Comput.* 30, 1 (December 2007), 205-231.
- [4] Tamara G. Kolda and Brett W. Bader. 2009. "Tensor Decompositions and Applications." *SIAM Rev.* 51, 3 (August 2009), 455-500.
- [5] N. D. Sidiropoulos, E. E. Papalexakis and C. Faloutsos, "A parallel algorithm for big tensor decomposition using randomly compressed cubes (PARACOMP)," *2014 IEEE International Conference on Acoustics, Speech and Signal Processing (ICASSP)*, Florence, 2014, pp. 1-5.